

## (18) 熔鉄の窒素溶解度におよぼす Ni, Co, Mo, Cr, V の影響

(熔鉄の窒素の溶解度について—Ⅱ)

日本製鋼所、室蘭製作所

理博 前川静弥・理博○中川義隆・梁川保雄  
Effect of Ni, Co, Mo, Cr and V on  
the Solubility of Nitrogen in Liquid  
Iron.

(Solubility of nitrogen in liquid iron and iron  
alloys—I)

Shizuya Maekawa, Yoshitaka Nakagawa  
and Yasuo Yanagawa.

### I. 緒 言

第1報の熔融純鉄、鉄—珪素系、鉄—マンガン系<sup>り</sup>に引続き鉄—ニッケル系、鉄—コバルト系、鉄—モリブデン系、鉄—クロム系および鉄—バナジウム系、熔融鉄合金の窒素溶解度の測定結果について報告する。

### II. 実験方法

#### 1. 要旨

Fe-Ni, Fe-Co, Fe-Mo, Fe-Cr および Fe-V 系の熔融合金に一気圧の N<sub>2</sub> ガスを接触せしめ、一定時間ごとに試料を採取し、N 量を定量して N 飽和溶解量を求めた。

#### 2. 実験装置

実験装置は前報と全く同様で N<sub>2</sub>, H<sub>2</sub> および Ar ガスの洗浄装置および反応管よりなつていて、ガスの洗浄系列の細部は Fig. 1 に示すごとくで、とくにガス中の O<sub>2</sub> の除去に注意した。

反応管は、高アルミナ質坩堝によつて保護した電融アルミナ質坩堝（内径 30mm, 高さ 50mm）を石英管中におさめこの中の試料を高周波電気炉（水銀ギャップ式

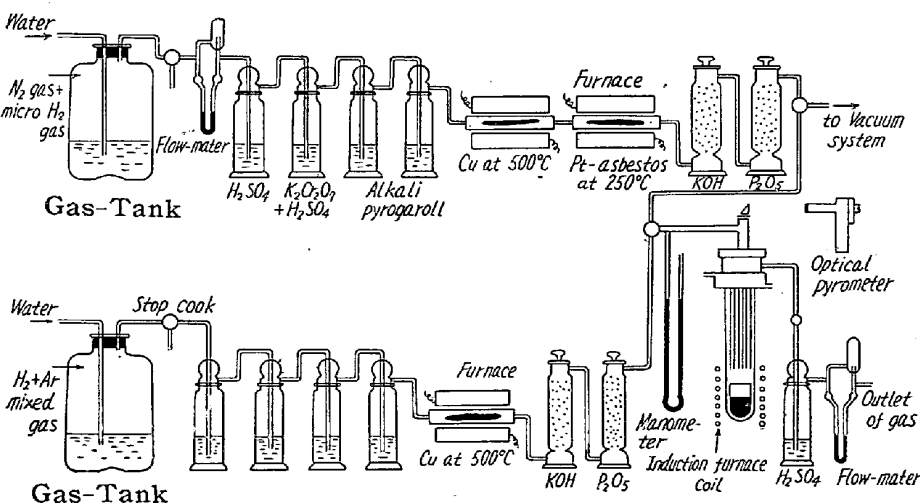


Fig. 1. Apparatus used in experiments.

10 KVA) で熔解した。分析試料の採取方法は前報と全く同様である。

#### 3. 供試料

実験に用いた純鉄は一旦真空熔解炉で 5 kg の電解鉄を熔解して小鋼塊とし、これを実験用坩堝に適合するよう成形したものを用いた。その化学組成はつぎのごとくである。

Chemical composition of vacuum-melted electrolytic iron.

Composition	C	Si	Mn	O	N
%	<0.006	<0.005	<0.005	<0.01	<0.003

また各種添加金属の純度を次表に示す。

Purity of alloying element.

Alloying element	Ni	Co	Mo	Cr	V
%	99.28	99.57	99.93	99.0	99.78

#### 4. 温度測定

吸収量測定時と全く同じ状態で、Pt-Pt·Rh 热電対（純 Ni の熔融点で補正）と光高温計との同時測定を行なつて光高温計を補正し実験中は光高温計によつて温度測定を行なつた。

#### 5. 実験順序

試料約 125 kg を反応管内の坩堝におさめ装置内を H<sub>2</sub>-Ar 混合ガス (1:1) にて完全に置換した後、高周波電気炉を作動し試料熔解後混合ガスを 100cc/mn の割合で通じながら約 40 分間 1600°C に保持する。次で反応管内を一旦真空とした後、N<sub>2</sub> ガスに切換え、150cc/mn の割合で通しながら所定温度に保持する。その後 10

～20分ごとに分析試料を 2～5 g 採取する。採取試料は直ちに水冷して分析に供する。

#### 6. 分析方法

試料の N 分析はアンモニア蒸溜一中和滴定法、また Ni, Co, Mo, Cr および V の分析は学振鉄鋼迅速分析法によつて行なつた。

#### 7. その他

N の活量係数  $f_N^{(X)}$ 、および相互作用助係数  $e_N^{(X)}$  は前報と同じ要領で求めた。

## III. 実験結果

Fe-Ni, Fe-Co, Fe-Mo, Fe-Cr および Fe-V 系溶鉄の N の飽和溶解量を Fig. 2 に示した。

すなわち各系溶鉄とも温度の差異による N の溶解度の変化は明瞭でなかつたが、これらの結果によると溶鉄中の Ni, Co, 是 N の溶解度を減少し、また Mo, Cr および V はその順序にしたがつて N の溶解度を増加する。

また Fig. 2 の関係より共存元素 X の重量%と  $\log f_N^{(X)}$  との関係を求め、これを示すと Fig. 3 に示すごとくになる。

Fig. 3 の関係より

$$\left. \begin{aligned} \log f_N^{(Ni)} &= 0.007 \cdot \% \text{Ni} &< 5.0\% \\ \log f_N^{(Co)} &= 0.005 \cdot \% \text{Co} &< 7.0\% \\ \log f_N^{(Mo)} &= -0.013 \cdot \% \text{Mo} &< 7.0\% \\ \log f_N^{(Cr)} &= -0.057 \cdot \% \text{Cr} &< 5.0\% \\ \log f_N^{(V)} &= -0.11 \cdot \% \text{V} &< 8.0\% \end{aligned} \right\} \quad 1600-1700^\circ\text{C}$$

なる関係式が得られる。

## IV. 結 言

以上溶鉄の N 飽和溶解度におよぼす Ni, Co, Mo, Cr および V の影響について実験したが Fe-Ni 系溶鉄においては、

Langenberg<sup>2)</sup>, Kashyap & Parlee<sup>3)</sup>, Wentrap & Reif<sup>4)</sup>, 斎藤<sup>5)</sup>, 佐野, 菅輪<sup>6)</sup>等の, Fe-Co 系においては Schenck 等<sup>7)</sup>, Fe-Mo 系では Kashyap & Parlee<sup>3)</sup>, Schenck 等<sup>7)</sup>, Fe-Cr 系は斎藤<sup>5)</sup>, 的場・不破<sup>8)</sup>

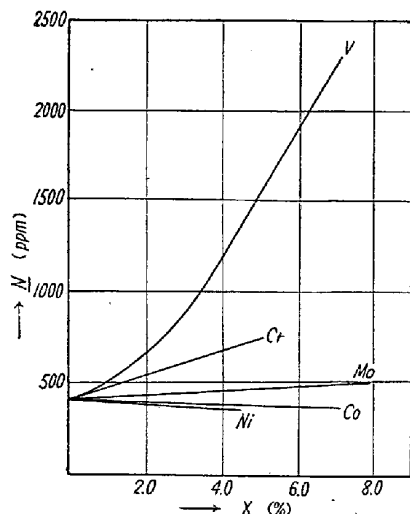


Fig. 2. Effect of various elements on the solubility of nitrogen in liquid iron.

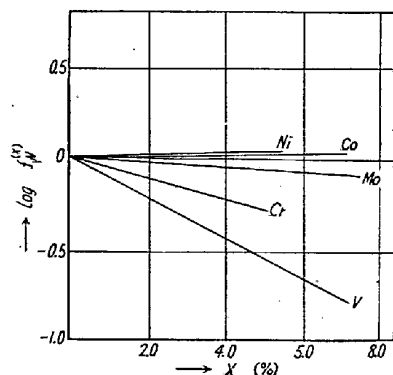


Fig. 3. Effect of various elements on the activity coefficient of nitrogen.

Fe-V 系では佐野, 菅輪<sup>6)</sup>, Kashyap & Parlee<sup>3)</sup> 等の実験結果や調査結果が発表されている。

これらの結果よりの合金元素 1%における N に対する相互作用助係数  $e_N^{(X)}$  は Fe-Ni 系: 0.002~0.009, Fe-Co 系: 0.0072, Fe-Mo 系: 0.0043~0.0098, Fe-Cr 系: -0.045~0.06, Fe-V 系: -0.095~-0.19 である。

これに対し本実験結果より求めた  $e_N^{(X)}$  はそれぞれ 0.007, 0.005, -0.013, -0.057, -0.11 であり、おおむねよい一致を示した。

## 文 献

- 1) 前川静弥, 中川義隆: 鉄と鋼, 45 (1959) 255
- 2) F. Langenberg: J. Metals 8 (1956) 1099
- 3) V. C. Kashyap & N. Parlee: Trans. Metallurgical Soc. A.I.M.E., 212 (1958) 86
- 4) H. Wentrap & O. Reif: Archiv Eisenhüttenwesens, 20 (1949) 359
- 5) 斎藤恒三: 金属学会誌 B-14 (1950) 1
- 6) 佐野幸吉・菅輪晋: 金属学会誌, 21 (1957) 569
- 7) H. Schenck K.M.G. Frohberg & H. Graf: Archiv Eisenhüttenwesens, 29 (1958) 673
- 8) 的場幸雄, 不破祐: 学振 19 委 5593 (1959)

## (19) 熔鉄の窒素溶解度におよぼす Ti, Al, および O の影響

(熔鉄の窒素の溶解度について—Ⅲ)

日本製鋼所, 室蘭製作所

理博 前川静弥・博理○中川義隆・梁川保雄  
Effect of Ti, Al and O on the Solubility of Nitrogen in Liquid Iron.

(Solubility of nitrogen in liquid iron and iron alloys—Ⅲ)

Shizuya Maekawa, Yoshitaka Nakagawa  
and Yasuo Yanagawa.

## I. 緒 言

前報に引き続き溶鉄の窒素の溶解度におよぼす Ti, Al および O の影響について実験した結果と、第3元素の影響に関する二、三の考察を取纏めて報告する。

## II. Fe-Ti, Fe-Al, Fe-O 系溶鉄の N 溶解度

実験方法は前報と全く同様である。Fe-Ti 系溶鉄はスピンドチタン (99.5%) を、Fe-Al 系溶鉄では金属 Al (99.0%) を、また Fe-O 系溶鉄では、 $\text{Fe}_2\text{O}_3$  (化学用) をそれぞれ用いた。

Fe-Ti 系溶鉄においては Ti の蒸発が顕著であり、